

多列パイアル構築物による波の打ち上げ高さおよび減衰効果について

大阪大学工学部 正員
大阪大学工学部 正員樋木 亭
○岩田 好一朗

1. 緒言

筆者らは、オ25回年次学術講演会において波の打ち上げ高さにおける海洋構築物の形状効果をとりあげて、構築物の形状効果が波の打ち上げ高さに重要な寄与をすることを指摘した。その際、多列パイアル構築物による波の打ち上げ高さおよび波の減衰について一部報告したが、今回はさらにこのパイアル構築物をとりあげて、波の打ち上げ高さおよび波の減衰におけるパイアル間隔とパイアル列間隔の効果について明らかにする。水理実験は長さ 30m ×幅 0.7m ×高さ 0.95m の片面ガラス張りの鋼製水槽で行なう。なお、本報では波の打ち上げ高さにおける構築物の大きさの効果についても述べるが、この実験は $1/40$ 勾配の模型海浜を一端に設けた長さ 20m ×幅 4.0m ×高さ 0.5m の鋼製水槽で行なう。前回の報告同様、発生波は電気抵抗式波高計により計測し、反射率はHealyの方法により求める。また、構築物への波の打ち上げ高さについても前回と同様の計測方法と整理方法とするものとする。

D/H_0	1.06 ~ 17.5
D/L_0	0.165, 0.087, 0.016
H/H_0	0.6 ~ 1.4, 3.65
X/L	0.116 ~ 1.00
$b/(b+D)$	0.386 ~ 0.756
S	0, 1/40

表-1 実験諸元

2. 波の反射率と透過率とエネルギー損失

多列パイアル群による波の反射率と透過率をMéhauté¹⁾考証を拡張して算定するが、その場合、パイアルを通過するときの形状抵抗によるエネルギー透散量を導入することが困難である。したがって、まず単列パイアル群による反射率と透過率とパイアルの形状抵抗を導入して求め、この反射率と透過率を複列パイアル群を構成する各々の列に対して適用されるものとして算定する。

(1) 反射率と透過率の算定式

まず、単列パイアル群をとりあげるが、反射率と透過率の算定において、図-1(a)に示す領域I-I, II-II, ...などは互に独立であり相互干渉はないと仮定する。したがって、パイアル径 D とパイアル間隔 b が全ての領域で等ければ、反射率 R と透過率 T は任意の一領域について計算すればよい。いま、入射波: $\Psi_I = a \cdot \sin(kx - \omega t)$, 反射波: $\Psi_R = R \cdot a \cdot \sin(kx + \omega t + \phi_R)$, 透過波: $\Psi_T = T \cdot a \cdot \sin(kx - \omega t + \phi_T)$, とする。ただし、 a : 波の振幅, $\omega = 2\pi/T$, $k = 2\pi/L$, ここで、 T , L は周期と波長とする, ϕ_R , ϕ_T はそれぞれ入射波に対する反射波, 透過波のパイアルによる位相ずれとする。図-1の断面1-1と断面2-2の間にベルヌイ

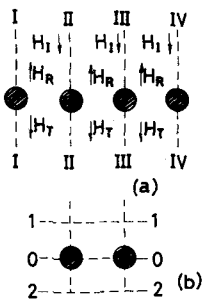


図-1 単列パイアル群

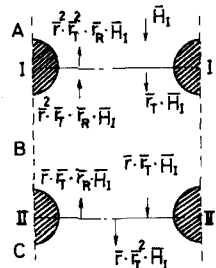


図-2 複列パイアル群

一つの定理を適用し、断面O-O₂と断面2-2'間の流量保存を考慮し、位相差を、余弦共に導く。kh < 1と仮定すると、透過率ηは次式で与えられる。なおηは静水深である。

$$\left. \begin{aligned} Y_T &= \frac{A}{a} \cdot \xi \cdot \left(-\xi + \sqrt{\xi^2 + \frac{2a}{A}} \right), \quad \xi = \frac{1}{\sqrt{G_d}} \sqrt{\frac{b}{b+D}} \\ A &= \left(\frac{kh}{n} \right)^2 \cdot \left\{ g + \frac{n^2}{R} \cdot \frac{1}{\sinh kh} + \frac{1}{6} \cdot \frac{n^2 k^2 h^2}{R} \cdot \frac{1}{\sinh kh} \right\} \end{aligned} \right\} \quad (1)$$

ここで、g: 重力加速度、G_d: $a_{dt} = (2n + \frac{1}{2})\pi$ に対する定義されたパイアルの抗力係数である。なお、n=0, 1, 2, 3, ... の整数である。一方、反射率η_Rは次式で与えられる。

$$\eta_R = 1 - Y_T \quad (2)$$

(1)式、(2)式より、パイアル間隔r/Dが小さくなるにつれて、反射率は大きくなり、透過率は小さくなつていくことがわかる。つぎに2列パイアル群ととりあげる。図-2において、入射波は断面I-I'で一部反射し、一部は透過する。この透過波は断面II-II'で一部反射し、一部は透過する。その後、断面II-II'で反射した波は再び断面I-I'へ進み以後領域I-I'で同様の過程を繰り返すものとし、反射波、透過波はこうして各帯波の単純重ね合せにより表示できるものと仮定する。その際各断面での透過率と反射率は(1)式と(2)式で与えられるものとする。便宜上、入射波: H_I = H₀ exp(iφ_I)、反射率: η_R = η_R exp(iφ_R)、透過率: η_T = η_T exp(iφ_T)、領域I-I'間の波高減衰率: β = β exp(-i $\frac{2\pi X}{L}$)を表示する。なお、H₀: 波高、η_R: 反射係数、η_T: 透過係数、φ_I: 入射角、φ_R: 位相差、β: 減衰係数、X: パイアル列間隔、L: 波長である。入射波が断面I-I'間で無限に反射を繰り返すとき、A領域の反射波H_R、C領域における透過波H_Tはそれぞれ次式のようになる。

$$H_R = \left\{ \eta_R + \sum_{n=1}^{\infty} \bar{\eta}_R \cdot \bar{\beta}^{2n} \cdot \bar{\eta}_T^2 \right\} H_I \quad (3) \quad H_T = \sum_{n=1}^{\infty} (\bar{\eta}_R \cdot \bar{\beta}^{2(n-1)} \cdot \bar{\eta}_T^2) H_I \quad (4)$$

(3)式と(4)式において、便宜上、余弦共に導くこととする。2列パイアル群の反射率η_Rと透過率η_Tは次式のようになる。なお同式のη_{T1}、η_{T2}は既述の单列パイアル群での値である。

$$\eta_{R2} = \eta_{R1} \frac{\sqrt{1 + 2\beta^2(\bar{\eta}_T^2 - \bar{\eta}_{T1}^2) \cos \frac{4\pi X}{L} + \beta^4(\bar{\eta}_T^2 - \bar{\eta}_{T1}^2)^2}}{\sqrt{1 - 2\beta^2 \bar{\eta}_T^2 \cos \frac{4\pi X}{L} + \beta^4 \bar{\eta}_{T1}^2}} \quad (5) \quad \eta_{T2} = \frac{\beta^2 \bar{\eta}_{T2}^2}{\sqrt{1 - 2\beta^2 \bar{\eta}_{T2}^2 \cos \frac{4\pi X}{L} + \beta^4 \bar{\eta}_{T1}^2}} \quad (6)$$

なお、この考え方をn列のパイアル群に拡張すると、n列パイアル群による反射率η_{Rn}、透過率η_{Tn}は次式で与えられる。

$$\eta_{Rn} = \frac{\sqrt{\bar{\eta}_T^2 + 2\beta^2 \bar{\eta}_T \bar{\eta}_{Tn} (\bar{\eta}_T^2 - \bar{\eta}_{Tn}^2) \cos \frac{4\pi X}{L} + \bar{\eta}_{Tn}^2 \beta^2 (\bar{\eta}_T^2 - \bar{\eta}_{Tn}^2)^2}}{\sqrt{1 - 2\bar{\eta}_T \bar{\eta}_{Tn} \beta^2 \cos \frac{4\pi X}{L} + \beta^4 \bar{\eta}_{Tn}^2}} \quad (7) \quad \eta_{Tn} = \frac{\beta^2 \bar{\eta}_{T1} \bar{\eta}_{Tn}}{\sqrt{1 - 2\bar{\eta}_T \bar{\eta}_{Tn} \beta^2 \cos \frac{4\pi X}{L} + \beta^4 \bar{\eta}_{Tn}^2}} \quad (8)$$

なお、添字n、n-1はn列とn-1列パイアル群での値を示すものである。(5)式～(8)式からいえることは、パイアル列間隔Xにより單調に反射率や透過率が増加あるいは減少しなく、透過率については、X = $\frac{1}{4}(2m-1)$, (m=1, 2, 3, ...)のとき極小に、X = $\frac{1}{4}(2m-2)$ のとき極大になり、また反射率についてもほぼ同様のことがいえることであつて。こゝにより、波の反射率と透過率におけるパイアル間隔とパイアル列間隔の効果は著しく異なるといふことである。

(四) エネルギー損失の算定式

波がパイル構築物を通過するときのエネルギー損失 E_L は次式で与えられる。なお E_I は入射波の単位幅・波長当たりのエネルギーである。

$$E_L/E_I = (1 - \gamma_R^2 - \gamma_T^2) \quad \dots \dots \dots \quad (9)$$

単列パイル群の場合は $\gamma_R + \gamma_T = 1$ であるから、(9)式から次の(10)式を、また2列パイル群の場合には(5)式、(6)式を(9)式に代入すると次の(11)式を得る。

$$E_L/E_I = 2\gamma_R(1 - \gamma_T) \quad \dots \dots \dots \quad (10) \quad E_L/E_I = 1 - \frac{\beta^2 \{ 1 + 2\beta^2(\eta^2 - \eta_{R0}^2) \cos \frac{\pi X}{L} + \beta^4 (\eta^2 - \eta_{R0}^2)^2 \} + \beta^4 \eta_{T0}^4}{(1 - 2\beta^2 \gamma_R^2 \cos \frac{\pi X}{L} + \beta^4 \eta_{R0}^4)} \quad \dots \dots \dots \quad (11)$$

(11)式より、 $X = \frac{1}{4}(2m-1)$ の時エネルギー損失が極大に、 $X = \frac{1}{4}(2m)$ の時極小となり、多列パイル群に対するパイル間距離が重要な効果を示すものといえる。

(八) 水理実験による検証

单列パイル群による反射率と透過率はともに1を満たす波に対しては(1)式と(2)式で $C_d = 2.6$ と置くことにより与えられ、2列パイル群による反射率と透過率は $X/L < 0.1$ の範囲では(5)式、(6)式で $\beta = 1$ として与えられるこことは、著者らは既に実験的に確認している。²⁾しかし2列パイル群の場合で $X/L > 0.25$ になると図-3に示すように反射率はほぼ理論値と一致するが、透過率は理論値とはかなり異なつてくる。この原因としては波とパイルの干涉が挙げられるが、この点につきさらには検討を要する。図-4(a), (b)はパイル群によるエネルギー損失におけるパイル間隔とパイル列間隔の効果を示したものであるが、図-4(a)に示すようにパイル間隔 $b/(b+D)$ が小さくなるとエネルギー損失が増加する。つまり、(10)式で γ_T の値として理論値を用いた場合と実験値を用いた場合のエネルギー損失量は極めてよく一致している。しかし図-4(b)に示すようにパイル列間隔の効果は既に述べたように、パイル列間隔 $X = \frac{1}{4}(2m-1)$ のときエネルギー損失が極大に、 $X = \frac{1}{4}(2m)$ の時極小になるが、理論値の方が実験値よりも大きなエネルギー損失を示し、理論値と実験値に差異があるといわれる。これは図-3に示すように、(6)式では透過率は正確に算定できることに帰因するためであろう。

3. パイル構築物への波の打ち上げ高さ

前回の報告で述べたように、一本の円筒パイルにおける波の打ち上げ高さ R/H_0 を支配する量は Buckingham の定理によれば次式で与えられる。

$$R/H_0 = f(D/H_0, D/L_0, b/H_0) \quad \dots \dots \dots \quad (12)$$

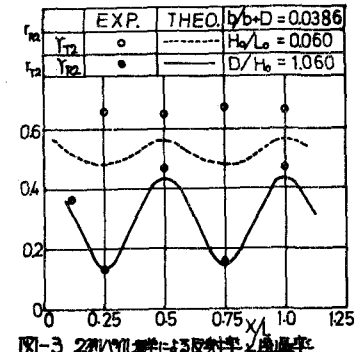


図-3 2列パイル群による反射率・透過率

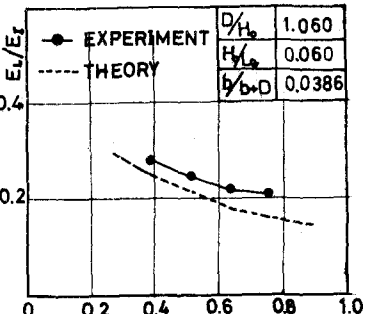


図-4(a) E_L/E_I に及ぼすパイル間隔の効果

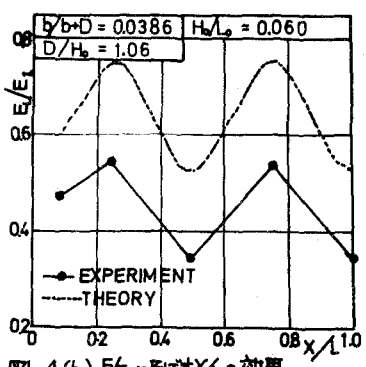


図-4(b) E_L/E_I に及ぼすX/Lの効果

なお、 H_0 ：冲波波高、 L_0 ：冲波波長である。図-5は b/H_0 をパラメータとして、 D/H_0 の変化にともなう波の打ち上げ高さ R/H_0 の変化を示したものである。同図によれば、 D/H_0 の値が大きくなるにつれて、つまり波高に比して構築物の径が大きくなるにつれて R/H_0 が大きくなることが認められ、 $D/L_0 = 0.087$ で $b/H_0 = 1/40$ の場合には、 $D/H_0 = 1.5$ における値が $R/H_0 = 2.0$ であるのに対し、 $D/H_0 = 17.2$ では $R/H_0 = 13.1$ にも達している。したがって、パイレ径を小さくする方が波の打ち上げ高さを低減させることに有効であるといえる。またパイレの数を増していくと、波とパイレの干渉により打ち上げ高さは複雑な挙動を示すが、ここではパイレ間隔の効果とパイレ列間隔の効果に分けて考える。図-6に示すように、パイレ間隔 $b/b+D$ が小さくなるにつれて R/H_0 が大きくなることが認められるが、これは(2)式で示されるように $b/b+D$ が小さくなると反射率が大きくなるためと考えられる。また図-7によれば、 X/L の変化にともなって2列パイレ群への波の打ち上げ高さは第1列目と第2列目ではその傾向を逆にしていることが認められる。 R/H_0 (第1列目への打ち上げ高さ)は(5)式で示される反射率と密接な関係があり $X/L = \frac{1}{4}(2m-1)$ のとき極大、 $X/L = \frac{1}{4}(2m)$ のとき極小となる。一方 R/H_0 (第2列目への打ち上げ高さ)は R/H_0 と全く逆の傾向を示しており、逆にパイレ群によるエネルギー損失と同じ傾向を示す。 $X/L = \frac{1}{4}(2m-1)$ のとき極大に、 $X/L = \frac{1}{4}(2m)$ のとき極小に至つてある。このことは波動エネルギーがパイレ間隔に残ると、つまりパイレ構築物によるエネルギー損失が大きいときは、その領域では当然大きな水面振動をすることになり、パイレへの打ち上げ高さが大きくなるが、逆に波動エネルギー損失が小さいときは波の打ち上げ高さが小さくなるためである。なお本実験は中西良次技官、高木勤(本四連絡橋公团勤務)、西氏の労によるところが大きく謝意を表する次第である。

1) Méhauté : Estuary and Coastlines Hydrodynamics by Ippen. 1966

2) T. Sawayagi, K. Iwata : Effect of Structural Shape on Wave Run-up and Damping. Coast. Eng. in Jap. Vol. 13, 1970.

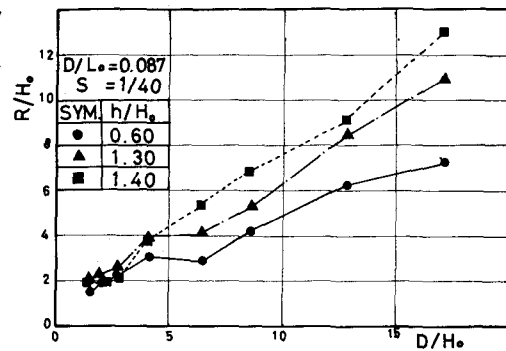


図-5 R/H_0 における D/H_0 の効果について

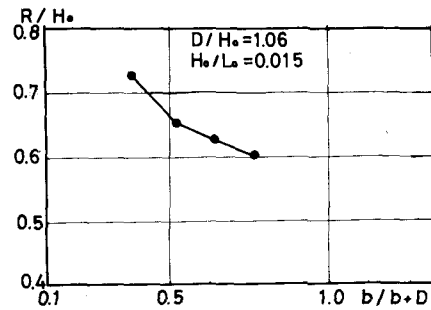


図-6 R/H_0 における $b/b+D$ の効果について

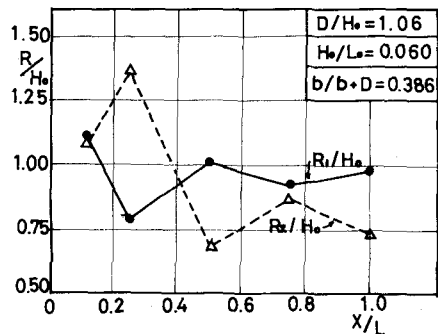


図-7 (2列パイレ群) R/H_0 における X/L の効果について